

Зависимость от энергии  $\mathcal{E}$  наиб. существенна для членов  $V_0$  и  $W_0$  (рис. 2).

Макроскопич. теория ядра как системы ми. тел позволяет рассчитывать ОП нуклонов. В Хартри —

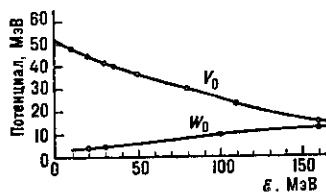
штрихованный квадрат изображает  $S$ -волновую часть амплитуды пион-нуклонного рассеяния  $A_S$  (см. Амплитуда рассеяния). Этой диаграмме соответствует аналитическое выражение

$$2m_\pi U^\pi = A_S^+ [\rho^n(r) + \rho^p(r)] + A_S^- [\rho^n(r) - \rho^p(r)],$$

где  $\rho^n$ ,  $\rho^p$  — плотности нейтронов и протонов,  $A_S^+$ ,  $A_S^-$  — изоскалярная и изовекторная компоненты  $A_S$ .

Член  $U_s^\pi$  определяется диаграммами (рис. 6), где двойная линия отвечает распространению т. н.  $\Delta$ -изобары (см. Резонысы), заштрихованные треугольники изображают совокупности диаграмм, переводящих нуклонную пару частица-дырка или  $\Delta$ -изобару с нуклонной дыркой в пион. Учёт  $N$ - $\Delta$ -взаимодействия приводит к нелинейной зависимости  $U_P^\pi$  от  $\rho$ :  $A\rho/(1 + \alpha\rho)$ ,  $\alpha > 0$ .

Рис. 2. Зависимость от энергии нейтронов  $\mathcal{E}$  действительной и мнимой частей оптического потенциала (для случая объемного поглощения).



Фоке методе с эф. силами или в самосогласов. теории конечных ферми-систем ОП выражается через феноменологич. эффективное нуклон-нуклонное взаимодействие ( $NN$ -силы). В теории ядерной материи Бете — Бракнера или в вариац. методах ОП вычисляют из первых принципов, исходя из взаимодействия свободных нуклонов. Простейшие диаграммы Фейнмана для ОП изображены на рис. 3 (см. Фейнмана диаграммы).

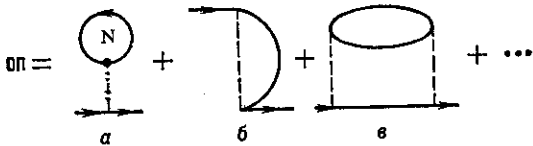


Рис. 3. Простейшие диаграммы для оптического потенциала ОП: сплошная линия символически изображает распространение нуклона ядра, пунктир — нуклон-нуклонное взаимодействие (суммирование по всем нуклонам ядра).

С позиций микроскопич. теории, ср. поле модели оболочек является аналитич. продолжением ОП в область отрицат. энергий  $\mathcal{E} = \mu \approx -8$  МэВ (при этом  $W = 0$ ). Наоборот, О. м. я. можно рассматривать как распространение модели оболочек в континуум. Микроскопич. теория ядра объясняет (качественно) зависимость параметров ОП от энергии нуклона  $\mathcal{E}$ . Так, рост  $W_0$  с ростом  $\mathcal{E}$  связан с увеличением числа неупругих каналов реакции. В модели ядерной материи при малых  $\mathcal{E}$  осн. вклад в  $W_0$  вносят диаграммы типа 3(ε), к-рые приводят к зависимости  $W_0 \sim (\mathcal{E} - \mu)^2$ . Более слабая (почти линейная) зависимость  $W_0(\mathcal{E})$  связана с поверхностным характером поглощения; он же в свою очередь определяется коллективными возбуждениями ядра, большинство которых является поверхностными (рис. 4).

Рис. 4. Диаграмма, приводящая к поверхностному поглощению; волнистая линия символизирует поверхностные возбуждения ядра.

Для нуклонов с энергиями от неск. сотен МэВ до 1 ГэВ ур-ние (1) заменяется аналогичным Дирака уравнением. При таких энергиях О. м. я. даёт ещё лучшее согласование с экспериментом, чем в случае низких энергий.

В случае пионов с энергиями  $\mathcal{E} \leq 100-200$  МэВ ОП описывает одновременно и свойства пионных атомов (см. Адронные атомы). Волновая ф-ция пиона подчиняется релятивистскому Клейна — Гордона уравнению с комплексным ОП  $U^\pi$ . Пион-нуклонное рассеяние в основном описывается  $S$ - и  $P$ -вольнами. В соответствии с этим  $U^\pi$  содержит два слагаемых  $U_S^\pi$  и  $U_P^\pi$ ;  $U_S^\pi$  определяет собственно ОП, а  $U_P^\pi$  приводит к появлению эф. массы, зависящей от координат и отличной от массы свободного пиона  $m_\pi$ . Член  $U_S^\pi$  описывается диаграммой, отвечающей приближению малой плотности нуклонов в ядре (газовое приближение, рис. 5). За-

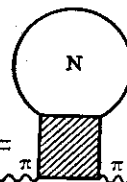


Рис. 5. Основная диаграмма для  $U_S^\pi$ .

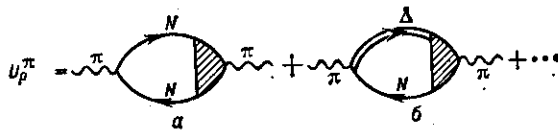


Рис. 6. Диаграммы для  $U_P^\pi$ , соответствующие распространению нуклонных частицы — дырки (a) и  $\Delta$ -изобары и нуклонной дырки (b).

Расчёт мнимой части ОП из первых принципов сложен. Поэтому обычно используют модель Бракнера, в к-рой  $\text{Im } U^\pi$  выражается через ширину осн. состояния пионного атома дейтерия. На рис. 7 приведены примеры описания рассеяния  $\pi^+$  и  $\pi^-$ -мезонов с энергией  $\mathcal{E} = 80$  МэВ на ядрах  $^{40}\text{Ca}$  и  $^{90}\text{Zr}$ .

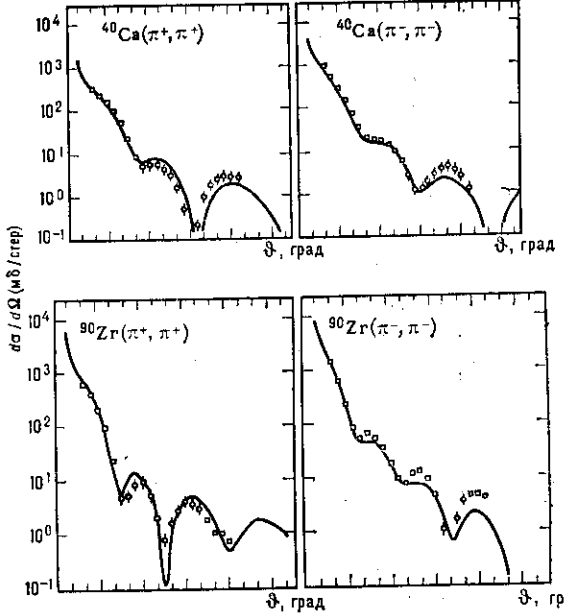


Рис. 7. Дифференциальное сечение  $d\sigma/d\Omega$  упругого рассеяния  $\pi^+$ - и  $\pi^-$ -мезонов на ядрах  $^{40}\text{Ca}$  и  $^{90}\text{Zr}$  в зависимости от угла рассеяния  $\theta$ .

Для К-мезонов и антипротонов ОП также могут быть вычислены на основе диаграммы рис. 5. Однако амплитуды KN- и  $\bar{p}N$ -рассеяний известны хуже,